

Попов Ю. П. и др.
Б1-3-8769.

+M

С 344 1а
П-58



ОБЪЕДИНЕННЫЙ ИНСТИТУТ ЯДЕРНЫХ ИССЛЕДОВАНИЙ

2076/75

Б1-3-8769

ДЕПОНИРОВАННАЯ ПУБЛИКАЦИЯ

Дубна 19 75

Ю.П.Попов, К.Г.Родионов, Р.Ф.Руми, М.Стэмпиньски

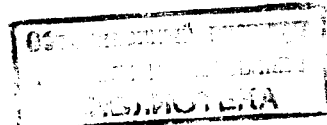
С 344.1а

П - 58

Б1-3-8769

Спектрометр для исследования альфа-распада
нейтронных резонансов

Утвержден 78



Дубна, ОИЯИ, ЛНФ, 1974г.

Введение

Наиболее подробную информацию о природе нейтронных резонансов можно получить, исследуя распад таких состояний. В последние годы благодаря созданию германиевых детекторов широкое распространение получило изучение спектров γ -лучей после захвата резонансных нейтронов, что дало новые сведения о структуре возбужденных состояний атомных ядер.

Значительный объем специфической информации о резонансных состояниях содержат спектры α -частиц распада этих состояний. К сожалению из-за малой проницаемости кулоновского барьера для α -частиц в области средних и тяжелых ядер реакция (n, α) идет с крайне малым сечением. Этот факт, а также значительный фон от конкурирующей реакции (n, γ) - $\frac{\sigma(n, \alpha)}{\sigma(n, \gamma)} < 10^{-5}$, слабые потоки резонансных нейтронов у большинства современных источников нейтронов и необходимость работать непосредственно вслед за мощной вспышкой ионизирующих излучений импульсного источника нейтронов представляют значительные трудности для экспериментального изучения реакции (n, α). Все это приводит к необходимости создания спектрометров α -частиц, обладающих такими характеристиками, как большая светосила, малый собственный фон, способность работать в больших полях слабоионизирующих излучений, неперегружаемость спектрометрического тракта при больших амплитудных перегрузках на входе, стабильность характеристик в течении сотен часов измерения и т.д.

Эффективные детекторы для регистрации α -частиц в реакции (n, α) на резонансных нейтронах описаны ранее /1,2/. В настоящей работе описываются две спектрометрические установки, разработанные в Лаборатории нейтронной физики ОИЯИ, для изучения спектров α -распада целого ряда индивидуальных состояний атомных ядер, возбуждае-

мых при захвате резонансных нейтронов. Рассматриваются влияние фоновых ионизирующих полей на разрешение спектрометра.

ИОНИЗАЦИОННАЯ КАМЕРА

Существенные ограничения на тип α -спектрометра для изучения редких реакций накладывает необходимость иметь прибор, обладающий большой светосилой с достаточно высоким разрешением по энергии

α -частиц, а также возможностью поместить в детектор максимальное количество исследуемого вещества, толщина которого должна составлять малую долю от пробега α -частиц. В связи с этими требованиями мы ограничились рассмотрением двух типов спектрометров - на основе сцинтилляционного и ионизационного методов регистрации энергии частиц. Разрешающую способность сцинтилляционного газового детектора с большой рабочей площадью, даже при использовании электрического поля для усиления световой вспышки, не удалось получить лучше $10 \pm 12\%$ /3/, что недостаточно для изучения α -спектров в реакции (n, α). В настоящее время, вероятно, ионизационная камера с электроникой, имеющей высокое аппаратурное разрешение, в наибольшей степени отвечает перечисленным требованиям. Применение ее дало возможность создать светосильный α -спектрометр с удовлетворительным разрешением по энергии α -частиц.

Один из спектрометров состоит из 6-ти секционной ионизационной камеры с сетками, электроники, позволяющей выбирать оптимальное энергетическое разрешение при данных размерах мишени, а также системы регистрации многомерной информации. Имеется стабилизация всего спектрометрического тракта, включая камеру. Вакуумная система обеспечивает откачуку и наполнение ионизационной камеры рабочей газовой смесью.

Второй спектрометр отличается конструкцией ионизационной камеры,

меньшей по объему и которая имеет только две секции с сетками.

Большая камера (рис. I,б) конструктивно выполнена в виде полого цилиндра диаметром 490 мм. и длиной 1210 мм., снабженного с торцов тонкостенными крышками на вакуумных уплотнениях. На боковой поверхности камеры имеются клапаны, через которые производится откачка и наполнение объема рабочим газом ($98\% Ar + 2\% CO_2$, или $97\% Ar + 3\% CH_4$ при давлении 2 атм.). На камере расположены сигнальные и высоковольтные вводы, контрольные манометры и вакуумметр. Внутри объема размещены 6 идентичных секций — независимых двойных ионизационных камер с сеткой. Полная площадь мишенией составляет 9000 см^2 .

Отдельная секция представляет собой систему из двух высоковольтных электродов (3) (алюминиевые диски диаметром 440 мм, толщиной 0,5 мм), на которые наносится мишень (тонкий слой $0,2 \text{ мг}/\text{см}^2$, изучаемого изотопа) и одного общего электрода (коллектора) (1), расположенного между ними. Между электродами размещены две сетки натянутые на стальные кольца (проволока $\varnothing = 100\text{мк.}$, шаг намотки 1,5 мм). Расстояния между высоковольтным электродом и сеткой, сеткой и коллектором равны соответственно 70 мм и 30 мм.

Вторая камера представляет собой одну секцию большой камеры с собственным кожухом и несколько отличающимися расположением электродов (рис. Iа). Площадь мишенией — 1500 см^2 .

Описываемые ионизационные камеры обладают малым собственным фоном. В энергетическом интервале $5 \div 10 \text{ Мэв}$ фон за 100 часов составляет $1,3 \text{ имп}/\text{см}^2$. Энергетическое разрешение каждой секции — 100 кэв для $E = 4.5 \text{ Мэв}$. При работе на пучке нейтронов от импульсного реактора ИБР-30 /4/ фон камеры повышается ~~до 5 раз~~ , а разрешение до $400 \div 200 \text{ кэв}$ для $E = 10 \text{ Мэв}$, в различных интервалах времени после импульса мощности реактора.

Расположение ионизационных камер на пучке нейтронов при измерении спектров α -частиц из реакции (n ; α) показаны на рис. Iа и Iб. Малая камера устанавливалась за щелевым коллиматором с проходным отверстием (30 x 2) см² с таким наклоном, при котором в пучке нейтронов находилась вся площадь мишени и только 10% чувствительного объема камеры. Это расположение позволяет использовать камеру в более мощных полях излучений, по сравнению с геометрией рис. Iб. На базе 100 м при импульсе мощности реактора в 60 Мвт, малая ионизационная камера в такой геометрии эксперимента восстанавливает свои спектрометрические свойства через 400 мксек. (диапазон исследуемых энергий нейтронов до $E_n < 350$ эв), в то время как в геометрии рис. Iб ионизационной камере требуется для восстановления ~ 1200 мксек. ($E_n < 40$ эв).

ЭЛЕКТРОННАЯ АППАРАТУРА

При разработке электронной аппаратуры учитывались такие факторы, как малая статистика α -частиц из реакции (n , α) при значительном фоновом излучении от конкурирующих реакций и из реактора, большие импульсные перегрузки в момент импульса мощности реактора, дрейф системы детектор-анализатор при длительном времени измерения. Была создана многоканальная измерительная аппаратура с линейными неперегружающими спектрометрическими трактами и системой коррекции дрейфов всех трактов. Блок схема аппаратуры приведена на рис. 2.

Импульс с коллектора ионизационной камеры (1) усиливался до рабочей величины усилителями (2) и (3) и подавался по длинному кабелю (~ 1000 м) на управляемый усилитель УУ (4). (Длина кабеля зависела от расстояния между местом расположения камеры и регист-

рирующими устройствами). С усилителя УУ через линейную схему ИЛИ (8) импульс поступал на преобразователи ± 512 - канальный амплитудно-цифровой (АЦП) (9) и 4096 - канальный время - цифровой (ВЦП) (10). С блоков АЦП, ВЦП и кодировщика номера канала (16) информация об амплитуде, признаке номера канала и времени прихода исследуемого импульса относительно стартового импульса, скоррелированного по времени с импульсом мощности реактора, переносилась в промежуточную память ПП (12). Через устройство отбора (13) цифровой код 3-х параметров передавался для синхронной записи на магнитную ленту (14).

Система цифровой коррекции дрейфа коэффициента усиления представлена блоками цифровых окон (11), реверсивными счетчиками (6) и цифроаналоговыми преобразователями ЦАП (7). Блоки ЦАП связаны с УУ и управляют ими в зависимости от состояния реверсивных счетчиков (дрейфа системы).

В описываемых спектрометрах дрейф был связан с изменением характеристик ионизационных камер (изменение параметров газа, наполняющего объем камер) с колебаниями напряжения сети на величину, некомпенсируемую стабилизацией источников питания, с изменением по каким-либо причинам коэффициента усиления и с другими факторами, влияющими на величину амплитуды импульса. Для компенсации дрейфа использован способ на основе цифрового стабилизатора. Контролировался монопик Δ -спектра эталонного источника, установленный в заданных каналах анализатора, путем счета числа импульсов, поступающих в зоны по обе стороны от центра тяжести пика. Избыток отсчета в одной из зон указывал на дрейф системы. Стабилизатор автоматически изменяет коэффициент усиления линейного тракта с помощью УУ до тех пор, пока отсчеты в обоих зонах не станут одинаковыми.

В процессе эксплуатации спектрометра в систему стабилизации были внесены изменения, связанные со следующими причинами. Число отсчетов эталонного α -источника, достаточное для оптимальной стабилизации спектрометрического тракта при непрерывном процессе стабилизации, значительно уменьшается в условиях эксперимента на импульсном пучке нейтронов ИБР, когда измерения ведутся во временных окнах. При очень малой статистике стабилизация становится неэффективной. Использование более мощного источника (эталонного) приводит, во-первых, к увеличению фона в области эффекта со стороны низких энергий, а во-вторых, из-за ограниченного быстродействия промежуточной памяти системы регистрации – к ее переполнению и блокировке.

Дальнейшие исследования характеристик ионизационной камеры (после ее конструктивного изменения) показали, что по истечении ($I \pm 3$) суток после ее наполнения газом в камере устанавливается режим, при котором сохраняется постоянство амплитуды импульса в течение многих дней измерения. Поэтому оказалось возможным отказаться от охвата стабилизацией самой камеры. В этом случае для стабилизации спектрометрического тракта используется вместо эталонного источника импульсы с эталонного генератора, подаваемые на вход предусилителя (рис. 3). Для исключения отрицательных эффектов, указанных выше, эталонный генератор (I_8) включается только в определенные интервалы времени между вспышками реактора; частота генератора регулируется, а вход промежуточной памяти на время работы системы стабилизации блокируется времязадающим блоком (I_7). Для каждой секции камеры имеется свой спектрометрический тракт, и блоки коррекции дрейфа. Так как эталонный генератор имеется в каждом тракте, то производится селективный выбор тракта, подлежащего коррекции в данный момент. Выбор делается с помощью блоков

(5), коммутирующих реверсивный счетчик того тракта, импульс с которого анализируется в АЦП. γ -спектр слабого эталонного источника ^{238}U регистрировался на магнитную ленту также, как и исследуемый, с признаком номера канала и использовался для калибровки шкалы по энергии, а также при анализе причин отдельных неисправностей всей системы.

Применение многомерного анализатора с магнитной лентой /5/ дало возможность вести одновременно регистрацию амплитудно-временных спектров со всех секций ионизационной камеры. Так как при этом записывался и номер секции, то при дальнейшей обработке можно выбрасывать неправильно зарегистрированную по каким-либо причинам информацию с любой из секций.

РАЗРЕШАЮЩАЯ СПОСОБНОСТЬ

Разрешающая способность ионизационного γ -спектрометра зависит от ряда факторов. Радиотехнические шумы и флюктуация числа пар ионов приводят к гауссовскому распределению импульсов по амплитудам, не сдвигая местоположения максимума. Другие факторы (толщина источника γ -частиц, прилипание электронов к электротриципательным примесям, неполнная экранировка коллектора сеткой, конечный фронт нарастания импульса, дрейф системы) приводят как к уширению γ -линии, так и к сдвигу максимума в область меньших энергий. Влияние на разрешающую способность описываемого γ -спектрометра различных факторов приводятся в таблице I.

Таблица I

Факторы, влияющие на амплитуду импульсов	ΔE (кэв.)		E_α (Мэв)
	ширина	сдвиг	
Радиотехнические шумы ^{x)}	> 70		10
Флюктуация ионизации	~ 9,5		10
Толщина мишени ($300\text{мкг}/\text{см}^2$)	~ 80	~ 35	10
Неполная экранировка сеткой	~ 23	~ 57	10
Влияние формирующих цепей усилительного тракта ^{xx)}	~ 2	~ 75	10
Потеря электронов	< 50		5
Облучение γ -квантами $N_\gamma = 6 \cdot 10^7 \text{ I/сек.}^x$	~ 230	~ 400	5

^{x)} - экспериментальные величины

^{xx)} - связаны с различием во времени нарастания импульсов.

Существенное влияние на величину разрешающей способности по энергии α -частиц оказывает постоянное или импульсное облучение ионизационной камеры фоновым ионизирующим излучением. Спектрометр работал в присутствии сильного нейтронного излучения в момент вспышки реактора, а также большого фона γ -излучения, идущего из реактора и от конкурирующей реакции (n, γ), сечение которой на 5 ± 6 порядков выше сечения реакции (n, α). Интенсивный фон вызывает в ионизационной камере три отрицательных эффекта:

- I. Возрастание уровня шумов за счет появления большого числа фоновых импульсов. При этом составляющая шума пропорциональна интенсивности фонового γ -излучения и зависит от параметров ионизационной камеры. Так, например, для N_γ

$$U_\alpha^2 = k T p \propto N_\gamma$$

где k - зависит от коэффициента конверсии γ -квантов, а также от энергетического спектра γ -излучения,
 t - время реакции усилителя,
 d - расстояние между высоковольтным электродом и коллектором,

P - давление газа, наполняющего объем камеры.

При давлении $p = 3$ атм. (98% аргона + 2% CO_2) и облучении камеры γ -лучами источника ^{137}Cs с интенсивностью $N = \frac{1}{2} \cdot 10^4$ s^{-1} , $N = 6 \cdot 10^7$ $I/s\cdot\text{сек}$, среднеквадратичное значение шума составляло $U_m^2 = 3.2 \text{ мкв}^2$, из-за чего энергетическое разрешение спектрометра ухудшилось в 2 раза.

2. Уменьшение сигнала и ухудшение разрешающей способности по энергии α -частиц за счет действия положительного пространственного заряда ионов, возникающего в результате ионизации газа в промежутке сетка - коллектор. В частности, существенный пространственный заряд образуется в момент импульса мощности реактора. На выходе ионизационной камеры получается большой биполярный импульс. Отрицательная составляющая этого импульса в 1000 раз превосходит амплитуду рабочих импульсов. Постоянная времени спада положительного выброса определяется скоростью дрейфа положительных ионов в промежутке сетка - коллектор. От альфа - частицы, находящейся в интервале времени спада положительного выброса, из-за наложения на спад образуется импульс меньше его действительного значения, в результате чего наблюдается сдвиг α -линии в сторону меньших энергий. Причем этот сдвиг не зависит от энергии α -частиц (рис. 3). За счет флюктуации мощности вспышки реактора величина положительного выброса колеблется, что приводит к дополнительному уширению α -линии. Это уширение тем меньше, чем дальше по времени расположен исследуемый нейтронный резонанс относительно момента импульса реактора.

3. Искажение электрического поля в рабочем промежутке камеры из-за появления ионного облака, возникающего при γ -облучении. Это приводит к увеличению рекомбинации электронов с ионами разных атомов. Однако этот эффект становится существенным лишь при очень больших полях излучения (~ 1000 р/час), при которых невозможна работа камеры из-за других списанных эффектов.

ЗАКЛЮЧЕНИЕ

Описанные здесь альфа-спектрометры вместе с их прототипом /6/ позволили впервые исследовать спектры α -распада индивидуальных резонансных состояний атомных ядер, получить первые сведения о флюктуациях парциальных α -ширинах нейтронных резонансов /4,7/.

На рис.4 представлена зависимость счета α -частиц 6-ти секционной ионизационной камерой от времени пролета нейtronами базы в 100м. Для 12 наиболее сильных резонансов, видимых на этом рисунке, были измерены спектры α -частиц. Часть из них представлена на рис.5.

Проведенные исследования показали, что разработанный спектрометр может быть использован для измерений спектров α -частиц в реакциях, идущих с крайне малыми сечениями при наличии значительных фонов слабоионизирующих излучений.



ЛИТЕРАТУРА

1. И.Квітєк, Ю.П.Попов, К.Г.Родионов, ПТЭ, №2, 90, (1967).
2. Ю.П.Попов, М.Стэмпиньски, ПТЭ, №6, 49, (1969).
3. И.Квітєк, Е.И.Нечаєва, Ю.П.Попов, И.Рибански, Р.Ф.Руми, М.Стэмпиньски, препринт ОІЯІ Р3-3904, Дубна, (1968).
4. Ю.П.Попов, М.Пшитула, К.Г.Родионов, Р.Ф.Руми, М.Стэмпиньски, В.И.Фурман, ЯФ, 13, 913, (1971).
5. Г.П.Жуков, Г.И.Забиякин, К.Г.Родионов, и др.
Труды У научно-технической конференции по ядерной
электронике, Госатомиздат, 1963г., т.2, ч.ІІ.
6. Ю.П.Попов, М.Стэмпиньски, письма ЖЭТФ, 7, 126, (1968).
7. И.Вильгельм, Ю.П.Попов, М.Пшитула, Р.Ф.Руми,
М.Стэмпиньски, Сообщение ОІЯІ, Р3-5553, Дубна, (1970).

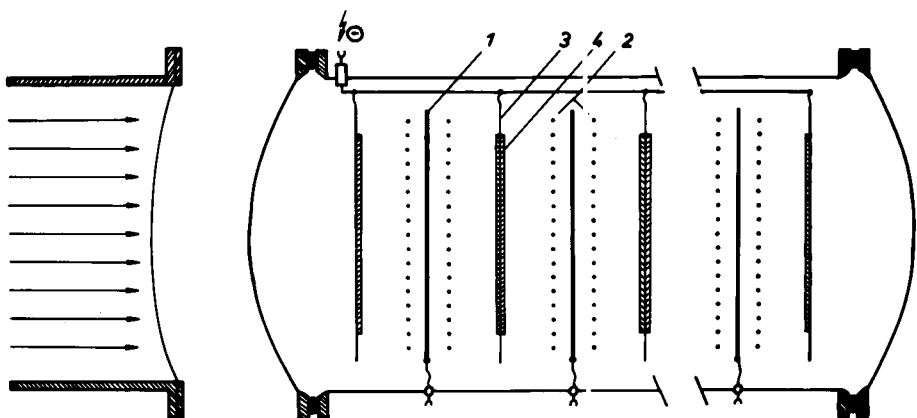
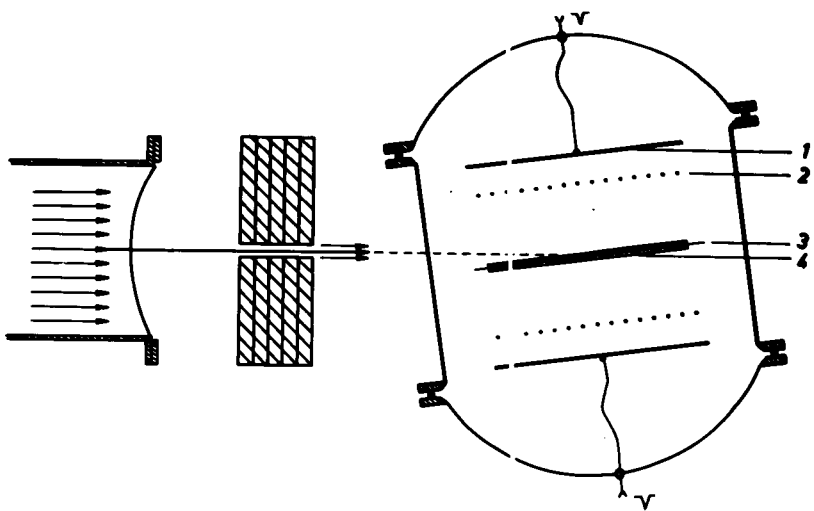


Рис. I а) 2-х секционная ионизационная камера;
 б) 6-ти секционная ионизационная камера;
 1-коллектор; 2-сетка; 3-высоковольтный электрод;
 4-мишень.

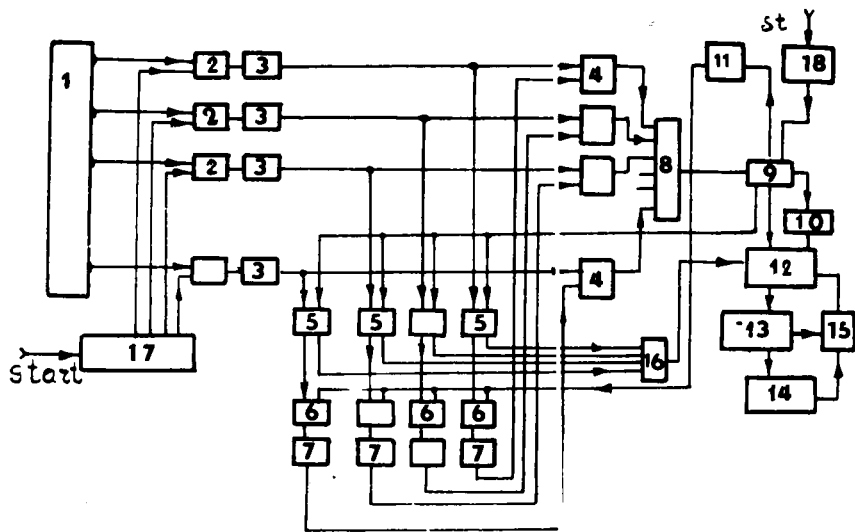


Рис.2 Блок схема электронной аппаратуры альфа-спектрометра I-ионизацияная камера; 2-предусилитель; 3-основной усилитель; 4-управляемый усилитель; 5-блок выбора тракта; 6-реверсивный счетчик; 7-цифро-аналоговый преобразователь; 8-линейная схема ИЛИ; 9-амплитудно-цифровой преобразователь; 10-время-цифровой преобразователь; 11-цифровые окна; 12-промежуточная память; 13-схема отбора; 14-магнитофон; 15-запоминающее устройство с осциллографом; 16-кодировщик номера секции; 17-эталонные генераторы; 18-времязадающий блок.

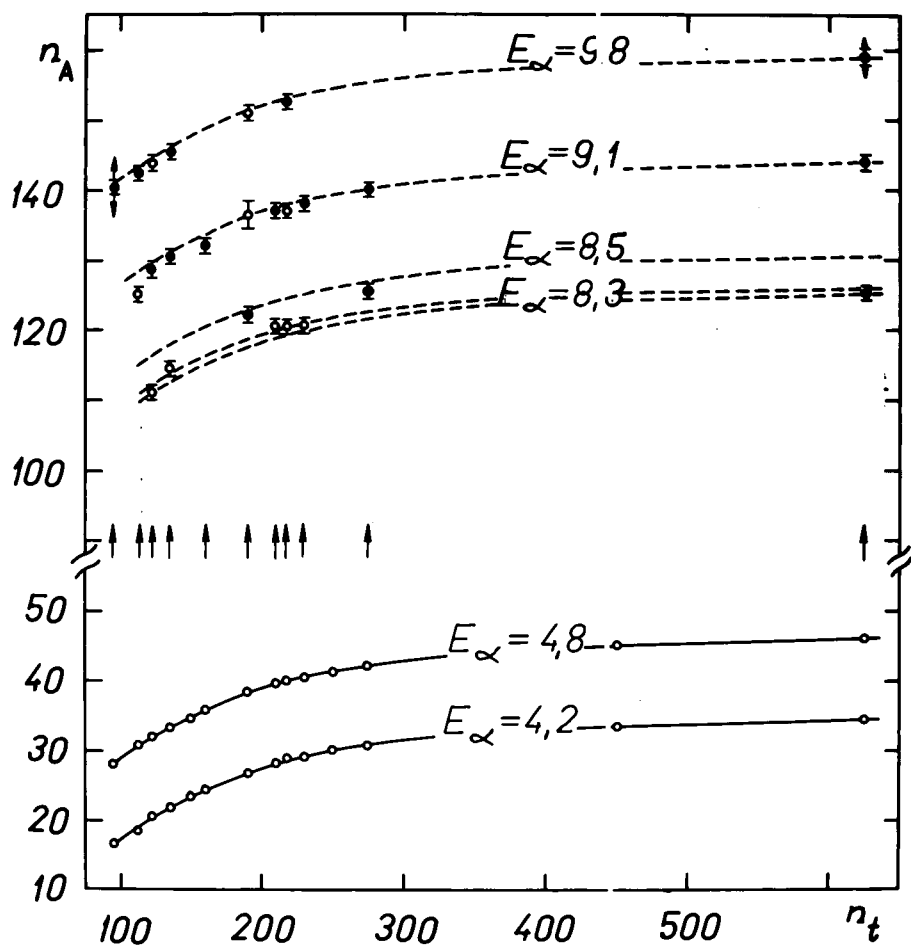


Рис.3 Временная зависимость амплитудных спектров альфа частиц

n_t – временные каналы,

n_A – амплитудные каналы.

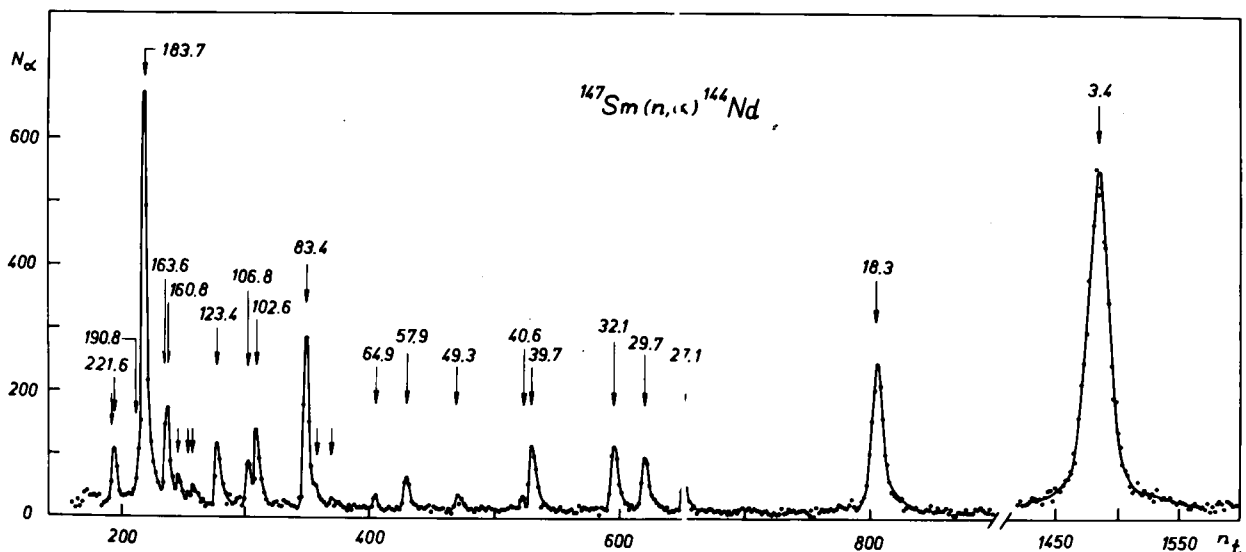


Рис.4 Временной спектр альфа-частиц из реакции $^{147}\text{Sm}(n,\alpha)^{144}\text{Nd}$

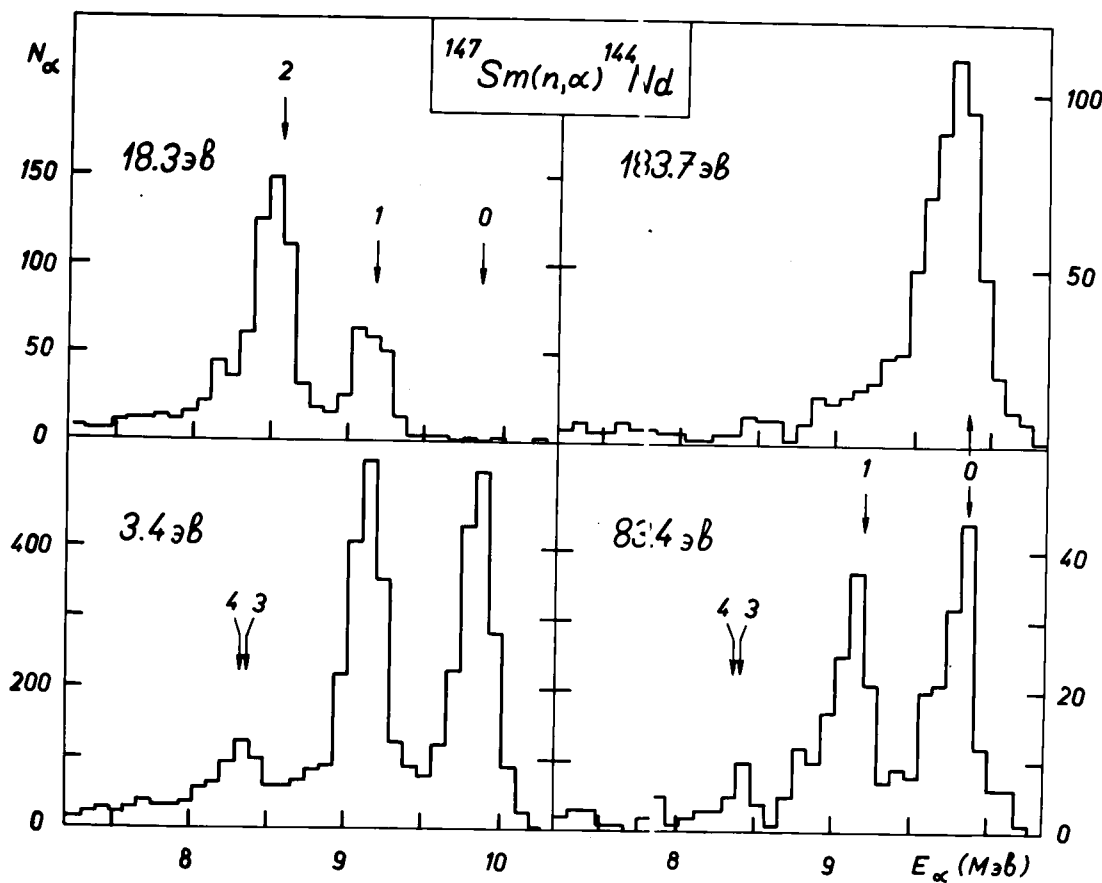


Рис.5 Спектры альфа-частиц в резонансах 3,4 эВ., 18,3 эВ., 83,4 эВ., 183,7 эВ.